

컴팩스 그라디언트 매스 측정에 의한 이지 거즈

○ 김 오 체 김 며 기
동 아대하고 저자고 학과

Edge Detection by Compass Gradient Masks

Young Chae Kim Myung Ki Kim
Dept. of Electronics Eng., SONG - A University

Abstract

The edge detection system makes use of 3×3 compass gradient masks, which are well suited for digital implementation.

Edge angles are quantized to eight equally spaced directions, suitable for chain coding of contours. Use of edge direction map improves the simple thresholding of gradient modulus images.

The concept of local connectivity of the edge direction map is useful improving the performance of this method as well as other edge operators such as Kirsch and Sobel.

서

이차원 맥스코 연산자는 일반적으로 일상의 일과
와 강조를 위해 사용되어 왔다. (4-3) 이차원 연산
법은 본래의 일상에 그림 1에 보인 큐피스 그리기
언트 맥스코 연산자를 사용함으로써 수행되었던
수 있다. 그림 1에서 큐피스 이름은 죄내용당의
기운기 바위로 나타난다. (4)

5개의 컴포넌트 라이언트 앤드 워크와 일치하는 이
시의 방향이 역시 그림 1에 있다. $0, 1, \dots$,
7의 수자는 그림 2에 보이고 있는 것처럼 3×3 그
리드에서 5개의 기본 바탕으로 사용된다. [4][5]

2. 대수학의 서전

본 실험에서는 five-level simple mask를 사용하였는데 그 이유는 다음과 같다.

Dir of Edge	Dir of gradient	Prev R. Mskns	First Mskns	Three-level simple masks	Five-level simple masks
C	North	[1 1 1] [-2 1 1] [-1 -1 1]	[5 5 5] [-3 0 3] [-3 3 3]	[1 1 1] [0 0 0] [0 1 1]	[1 2 1] [0 0 0] [-1 2 1]
	North-west	[1 1 1] [-2 1 1] [-1 1 -1]	[5 5 3] [5 0 3] [-3 2 -3]	[1 1 0] [1 0 1] [0 0 1]	[2 1 0] [1 0 -1] [0 -1 -2]
	West	[1 1 1] [-2 1 1] [-1 -1 -1]	[5 -3 -3] [5 0 -3] [5 -3 -3]	[1 1 1] [1 0 -1] [0 0 1]	[1 0 -1] [2 0 -2] [1 0 -1]
3	South-west	[1 1 1] [-2 0 -2] [-1 0 -2]	[5 -3 -3] [5 0 -3] [5 -5 -3]	[0 1 -1] [1 0 -1] [1 1 0]	[0 -1 -2] [1 0 -1] [2 1 0]
	South	[1 1 1] [-1 0 -2] [-1 1 1]	[5 -3 -3] [5 0 -3] [5 5 5]	[1 1 1] [0 0 0] [1 1 1]	[1 -2 -1] [0 0 0] [1 2 1]
	South-east	[-1 -1 1] [-1 2 1] [1 1 1]	[-3 -3 -3] [-3 0 5] [-3 5 5]	[-1 1 0] [1 0 1] [0 1 1]	[-2 -1 0] [-1 0 1] [0 1 2]
5	East	[-1 1 1] [-1 2 1] [1 1 1]	[-3 -3 5] [-3 0 5] [-3 -3 5]	[-1 0 1] [1 0 1] [-1 0 1]	[-1 0 1] [-2 0 2] [-1 0 1]
	North-east	[1 1 1] [-1 -2 1] [-1 1 -1]	[5 5 5] [-3 0 5] [-3 -3 -3]	[0 1 1] [-1 0 1] [-1 1 0]	[0 1 2] [-1 0 1] [-2 -1 0]

2.3.1. 흐름을 고려한 디스플레이 맵스크 Compass Gradient Masks

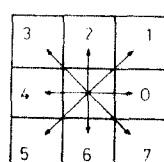


그림 2. 3×3 그리드의 8 방향
8 principal directions on a 3*3 grid

Sobel 연산자와 Prewitt 연산자를 사용한 이지 검출 결과가 그림 5이 있다. 이는 한계치로 50을 주었다.

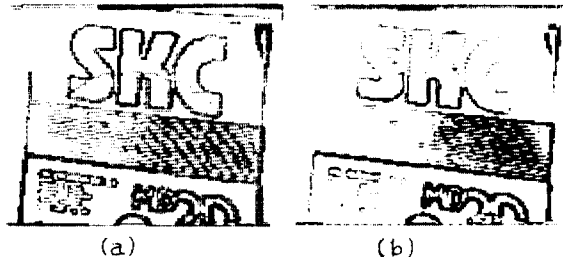


그림 5. 그라디언트 연산자 이지 검출 결과
Result of gradient operators

(a) Sobel operator (b) Prewitt operator

(2) 헝률 매칭 연산자에 의한 이지 검출

그림 1의 각각의 연산자에 대한 이지 검출 결과가

그림 6에 있다. 한계치로 50을 주었다.

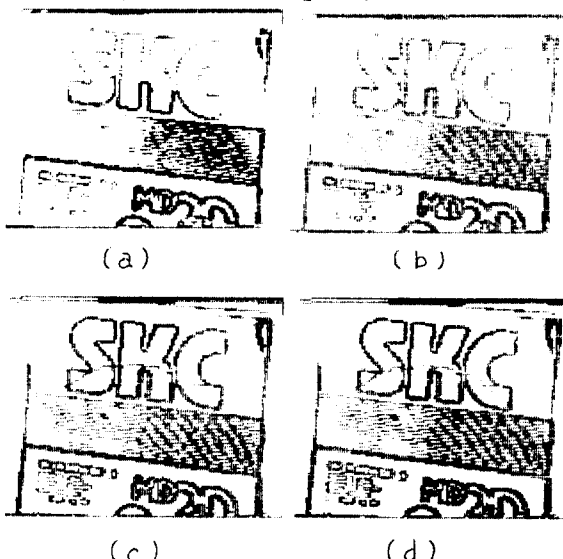


그림 6. 헝률 매칭 연산자에 의한 이지 검출
Result of template matching

(a) Prewitt mask

(b) Kirsch mask

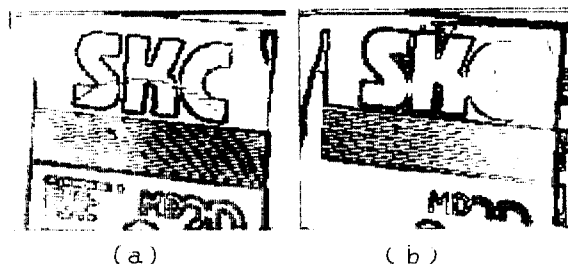
(c) three-level mask

(d) five-level mask

(3) 본 논문에서 제안한 연산자에 의한 이지 검출
본 논문에서 제안한 이지 검출 시스템에 의한 이지
검출 결과가 그림 7에 있다.

(a)는 한계치로 50을 주고 연결성 검사를 한 결
과이고 (b)는 LAT에 의한 결과에 연결성 검사를
하지 않은 결과이며 (c)는 LAT와 연결성 검사를

한 결과이다.



(a) (b)

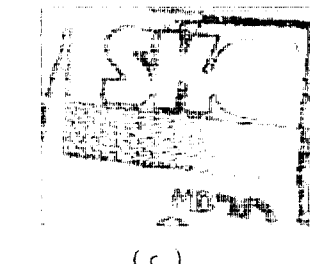


그림 7. 제안한 연산자로 예지 검출

Result of proposed operator

5. 결론

여러 연산자에 대하여 이지 검출을 시행하였다.

그 결과를 고찰해보면

첫째, 그라디언트 연산자인 Sobel 연산자의
그라디언트 값이 Prewitt 연산자의 그라디언트
값보다 커서 같은 한계치에서 선명한 이지를
나타내었으며, 둘째, 헝률 매칭 연산자에서는
three-level과 five-level이 비슷한

결과를 나타냈고 Kirsch와 Prewitt은 더
작은 그라디언트 값을 가졌다. 셋째, 본 논문에
서 제안한 이지 검출 시스템에서는 표의 결과를
같은 달리 LAT의 실행이 약한 이지를 강조해서
나타내 주었으며 그마디언트 값이 다른 이지
는 약화 시켰다.

(참고문헌)

- 1.W.K.Pratt,"Digital Image Processing",
U.S.A:John Wiley & Sons,1978
- 2.A.Rosenfeld,A.C.Kak,"Digital Picture
Processing",New York:Academic Press,1982
- 3.D.H.Ballard,C.M.Brown,"Computer Vision
,New Jersey:Prentice Hall,1982
- 4.G.S.Robinson,"Edge Detection by Compass
Gradient Masks",Cgip6,p492-501,1977
- 5.M.D.Levine,"Vision in Man & Machine",U.S.A
:Mcgrawhill,1985